

10.1671-006.3.04-031-08-053.2

Лисенёв Л.П.

Республиканский научно-практический центр детской онкологии, гематологии и иммунологии, Минск, Беларусь

Kiselev L.

Belarusian Research Center for Pediatric Oncology, Hematology and Immunology, Minsk, Belarus

Антиangiогенная терапия локализованных форм саркомы Юинга у пациентов детского возраста

Anti-angiogenic therapy for pediatric patients with non-metastatic Ewing's sarcoma

Резюме

До 60–70% пациентов с локализованными формами опухолей семейства саркомы Юинга (СЮ) излечивается на сегодняшний день, но около трети случаев развиваются резистентность к современным схемам системной терапии. Ранее мы показали, что прогнозирование таких пациентов возможно посредством маркеров ангиогенеза (АГ): экспрессии мРНК гена TFPI2 (ингибитор путей тканевого фактора) и соотношения изоформ фактора роста сосудов VEGFA165/VEGFA189 в ткани опухоли перед началом лечения. Целью настоящего исследования была интенсификация терапии посредством VEGF-блокады для пациентов с прогнозируемым на основании уровня маркеров АГ неблагоприятным исходом заболевания. 123 пациента детского возраста с локализованными формами СЮ (29 основной и 94 контрольной группы) включены в исследование. Для пациентов основной группы в проспективном режиме определялись маркеры АГ, и при неблагоприятном прогнозе стандартный терапевтический план был интенсифицирован посредством использования препарата бевацизумаб. Для основной группы констатированы лучшие показатели 5-летней БСВ (82,8% vs 60,1%, p<0,05), ОВ (84,4% vs 64,8%, p<0,05) и КЧР (13,8% vs 37,1%, p<0,05) по сравнению с пациентами, у которых данная технология не применялась (контрольная группа). Использование антиangiогенной терапии дополнительно для случаев с прогнозируемой на основании молекулярных маркеров АГ химиорезистентностью новообразования позволяет улучшить показатели 5-летней выживаемости для пациентов детского возраста с локализованными формами СЮ.

Ключевые слова: саркома Юинга, прогностические маркеры, ангиогенез, диагностика и ле-

Abstract

About a 30–35% of patients with non-metastatic Ewing's sarcoma develop resistance to standard chemotherapy plans. Previously we have established the ability to predict poor outcome based on mRNA expression levels of both TFPI2 (tissue factor pathway inhibitor 2) and VEGFA165/VEGFA189 (vascular endothelial growth factor isoforms) ratio in pretreatment tumor tissue. 123 patients (29 of the main group, 94 – comparison group) with non-metastatic forms ES included in the study.

For patients of the main group angiogenesis markers were determined, and for patients with poor prognosis standard therapeutic plan has been strengthened through bevacizumab (VEGF inhibitor). 5-year event-free survival (82.8% vs 60.1%, p<0.05), overall survival (84.4% vs 64.8%, p<0.05) and cumulative incidence of recurrence (13.8% vs 37.1%, p<0.05) was better for the basic group compared with patients in whom this technology has not been applied (control group). The use of anti-angiogenic therapy personally for cases with predicted (based on molecular angiogenesis markers) chemoresistance can improve 5-year survival rate for pediatric patients with non-metastatic Ewing's sarcoma. Anti-angiogenic therapy may be effective for patients with poor (based on angiogenesis markers in pretreatment tumor tissue) prognosis.

Keywords: angiogenesis, pediatric patients with Ewing's sarcoma, diagnosis and management, prognostic markers.

■ ВВЕДЕНИЕ

Термин «опухоли семейства саркомы Юинга» (СЮ) объединяет классическую костную СЮ, экстраскелетную СЮ, опухоль Аскина грудной стенки и периферическую примитивную нейроэктодермальную опухоль. Все эти саркомы происходят из общего мезенхимального источника, имеют общие генетические поломки (связанные с транслокацией 22-й хромосомы) и являются высокоагgressивными новообразованиями с высоким потенциалом развития и метастазирования [1–4]. Локализованные (неметастатические) формы составляют более 70% всех СЮ. Около трети случаев с локализованными формами демонстрируют терапевтическую резистентность новообразования, несмотря на использование различных вариантов полихимиотерапии на протяжении последних десятилетий [5, 6]. Классические клинические характеристики (пол, возраст, локализация и размер опухоли, уровень лактатдегидрогеназы и др.) характеризуются широким диапазоном параметров и не используются в актуальных клинических протоколах для стратификации плана инициальной терапии [7, 8]. Молекулярные маркеры опластического процесса на сегодняшний день рассматриваются как в качестве прогностических факторов, так и в качестве объектов целевой (таргетной) терапии. Ангиогенез (АГ) – процесс формирования опухолью собственной сосудистой сети, является безоговорочным условием развития и распространения новообразования [9, 10]. Ранее мы установили, что уровень маркеров АГ (экспрессии мРНК гена TFPI2 (ингибитор путей тканевого фактора) и соотношения изоформ фактора роста сосудов VEGFA165/VEGFA189) в ткани опухоли перед началом лечения позволяет дифференцировать пациентов с локализованной СЮ на группу благоприятного и неблагоприятного исхода заболевания [11].

■ ЦЕЛЬ ИССЛЕДОВАНИЯ

Определить эффективность интенсификация лечения посредством блокады АГ для пациентов с прогнозируемым на основании уровня маркеров АГ неблагоприятным исходом заболевания.

■ МАТЕРИАЛЫ И МЕ

В исследование включены дети семейства СЮ, которых в клинический комплекс и полуторацентристическом центре детской онкологии и гематологии (ДОГИ), Республика Беларусь, переданы в Национальный этический комитет по этике, полученный в результате диагностической биопсии (биопсии) до начала специфической противоопухолевое лечения, исключены из исследования. Критерий диагноза — гистологическое, иммunoхимическое (установление посредством иммуноцитохимии в дальнем времени наличия метастазов, связанных с 22-й хромосомой), подтверждение диагноза гистиоцитоза (n=94) с локализованными очагами в период с 1999 по 2010 г., в основную группу включены пациенты с 2011 по 2015 г. Всем пациентам выполнена операция, операция + химиотерапии контролируются включением винкристина, доксорubicина, цисплатина, актиномицина D, вспомогательные блоки индукции (вторичный и этапозид); консолидирующие винкристин, ifосфамид, актиномицин D. Пациентам основной группы назначены ингибиторы изоформ VEGFA165/VEGFR2 в проспективном режиме. В зависимости от прогноза (МКНП > 1,0 в тканях опухоли и экспрессии мРНК гена TFPI2 : VEGFA189 < 1,0 в тканях опухоли) включение МКНП стандартная терапия, включение препарата бевацизумаб в химиотерапии. Для пациентов с неблагоприятным прогнозом антиangiогенное лечение включает в себя бессобытийной выживаемости и кумулятивной частоты рецидива.

Молекулярно-биологиче-

образцы тканей были полу-
чены немедленно доставлены
в гомогенизатор Retsch
(бензилпироновая кислота) и
цепной реакции в реальном
виде выделялась с использованием
специальной инструкции произ-
водителя. Концентрация РНК оценивалась

■ МАТЕРИАЛЫ И МЕТОДЫ

В исследование включены 123 пациента с локализованными опухолями семейства СЮ, которые с 1999 по 2015 г. проходили диагностический комплекс и получали лечение в Республиканском научно-практическом центре детской онкологии, гематологии и иммунологии (РНПЦДОГИ), Республика Беларусь [12]. Исследование одобрено логичным этическим комитетом. Изучался материал первичной опухоли, полученный в результате диагностического оперативного вмешательства (биопсии) до начала специального лечения. Пациенты, получавшие противоопухолевое лечение до взятия образца ткани, были исключены из исследования. Критерием включения пациента в исследование было гистологическое, иммуногистохимическое и молекулярно-биологическое установление посредством полимеразной цепной реакции реального времени наличия в ткани опухоли и костном мозге транслокаций, связанных с 22-й хромосомой: $t(11;22)$, $t(21;22)$, $t(7;22)$, $(17;22)$, подтверждение диагноза. Контрольную группу составили пациенты ($n=94$) с локализованными формами СЮ, лечившиеся в РНПЦДОГИ с 2000 по 2010 г., в основную вошли 29 пациентов за временной промежуток с 2011 по 2015 г. Всем пациентам осуществлялся локальный контроль (операция, операция + лучевая терапия, только лучевая терапия). Режим химиотерапии контрольной группы предусматривал использование винクリстина, доксорубицина, ifosfамида, циклофосфамида, этопозида, актиномицина D, бусульфана, мелфалана [10]. Для пациентов основной группы ($n=29$) режим химиотерапии включал четырехкомпонентные блоки индукции (винクリстин, доксорубицин, ifosfамид и этопозид); консолидирующая терапия была трехкомпонентной (виндикин, ifosфамид, актиномицин D) [10]. При постановке диагноза пациентам основной группы уровень экспрессии мРНК TFPI2 и соотношение изоформ VEGFA165/VEGFA189 в ткани опухоли исследовались в пролективном режиме. В качестве молекулярной комбинации неблагоприятного прогноза (МКНП) нами ранее был определен уровень экспрессии мРНК гена TFPI2 $\leq 0,8$ и соотношение изоформ VEGFA165/VEGFA189 $\leq 1,0$ в ткани опухоли перед началом терапии [11]. В случае наличия МКНП стандартная терапия была усиlena посредством назначения препарата бевасизумаб в дозе 7,5 мг/кг в день 1 каждого блока химиотерапии. Для пациентов с молекулярной комбинацией благоприятного прогноза антиангиогенная терапия не проводилась. Длительность бессобытийной выживаемости (БСВ), общей выживаемости (ОВ) и прогностической частоты рецидива (КЧР) исчислялась от времени постановки первичного диагноза.

Молекулярно-биологические методы

Образцы тканей были получены непосредственно во время операции, немедленно доставлены и заморожены в жидким азоте. Использовался гомогенизатор Retsch (XX, Германия). Для приготовления РНК (рибонуклеиновая кислота) и обратной транскриптазы – полимеразной цепной реакции в реальном времени (реал-тайм ПЦР), тотальная РНК выделялась с использованием RNeasy Mini Kit (Qiagen, xx, Germany) согласно инструкции производителя. Количественные показатели концентрации РНК оценивались посредством спектрофотометрии.

Тотальную РНК (1,5 мкг) из ткани конвертировали в первую цепь ДНК с использованием случайного праймера (0,3 мкг) и обратной транскриптазы 200 U мышиного вируса лейкемии (Moloney murine leukemia virus, M-MLV; Promega, XX, USA).

Три гена были исследованы в оригинальных образцах: VEGFA165, VEGFA189 и TFPI-2. В качестве внутреннего контрольного гена использовалась глициральдегид-3-фосфатдегидрогеназа (GAPDH). Количественное определение генов осуществлялось посредством использования метода флуоресценции на основе реального времени (Taqman).

ПЦР в реальном времени для генов VEGFA и TFPI-2 проводилась с использованием коммерческих систем (TaqMan Gene Expression Assays, Applied Biosystems, Foster City, CA, ID Hs00900054 ml и Hs00197918 ml соответственно). Праймеры и зонды для количественной оценки VEGF изоформ в ПЦР в реальном времени были использованы, как описано в публикации Gustafsson et al. [15]. Реакции проводились в 20 мкл реакционной смеси с окончательным разведением 1x в (Taqman PCR universal master mix, Applied Biosystems) в соответствии с протоколом производителя и с помощью оборудования Icycler (Bio-Rad, Hercules, CA) в режиме реального времени. Относительные величины mRNA генов в образцах были рассчитаны по показателям стандартных кривых, полученных путем амплификации серийного разведения обратной транскрибированной тотальной РНК. Значения исследованных показателей были представлены в виде относительных величин.

Статистический анализ данных проводился с использованием программы R-statistics версия 3.2.0, R Foundation for Statistical Computing, лицензия GNU GPL. Оценка статистической значимости различий между сравниваемыми количественными показателями проводилась U-критерием теста Манна – Уитни. Сравнение в группах по индивидуальным параметрам проводилось с помощью χ^2 теста. Для оценки выживаемости пациентов применялся метод Kaplan – Meier. Различия в выживаемости оценивались с использованием log-rank теста. Кумулятивная частота возникновения событий рассчитывалась методом конкурирующих рисков, различия кумулятивных частот оценивались с использованием теста Gray. Все различия считались статистически значимыми при $p < 0,05$.

■ РЕЗУЛЬТАТЫ И ОБСУЖДЕНИЕ

Пациентам основной группы с локализованными формами СЮ при начальной диагностике в проспективном режиме определялся уровень экспрессии mRNA генов TFPI-2 и соотношения VEGFA165/VEGFA189 в ткани опухоли.

Результаты экспрессии mRNA генов TFPI-2 и соотношения VEGFA165/VEGFA189 в ткани опухоли проспективной группы пациентов с локализованными формами СЮ, представлены на рис. 1.

Как представлено на рис. 1, 14/29 (48,2%) пациентов были локализованы вне области МКНП; у них констатирован благоприятный исход заболевания (все пациенты живы без событий) после проведения стандартной системной терапии. 15/29 (51,8%) пациентов перед началом системной терапии были локализованы в область МКНП; для них лечение было интенсифицировано посредством использования антиангиогенной

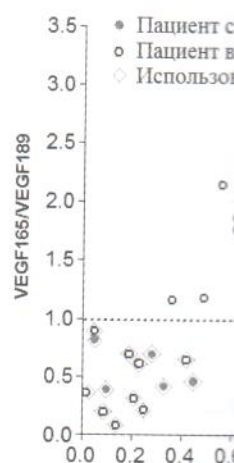


Рис. 1. Экспрессия mRNA гена TFPI-2 и соотношения VEGF165/VEGFA189 в локализованными формами СЮ в зависимости от концентрации TFPI-2

терапии. Отрицательные события и рецидивы не отмечены. У 14 пациентов, живших без событий, 1 рецидива, 1 токсическая смерть. У 15 пациентов, локализованных в область МКНП, 1 рецидив, 1 смерть. У 14 пациентов с рецидивом жив и находится во втором курсе лечения.

Были оценены показатели БСВ, ОВ и КЧР за 5 лет от начала лечения МКНП.

Показатель 5-летней БСВ пациентов с локализованными формами СЮ составил 100%. Показатель 5-летней БСВ пациентов с локализованными формами СЮ, живущими без событий, составил 100%. Пятилетняя БСВ пациентов объединенных групп составила 100%.

Показатель 5-летней ОВ пациентов с локализованными формами СЮ составил 100%. Показатель 5-летней ОВ пациентов с локализованными формами СЮ, живущими без событий, составил 100%. Показатель 5-летней ОВ пациентов объединенных групп составил 100%.

Показатель КЧР за 5-летний период от начала лечения МКНП составил 0%. Показатель КЧР пациентов с локализованными формами СЮ, живущими без событий, составил 26,7%. Показатель КЧР всех пациентов с локализованными формами СЮ составил 13,8%.

Далее мы сравнили показатели выживаемости пациентов с локализованными формами СЮ (группа контрольная группа) и после (основная группа) применения VEGF-блокады в зависимости от концентрации TFPI-2.

Показатели 5-летней БСВ пациентов с локализованными формами СЮ, представлены на рис. 2.

Как представлено на рис. 2, показатель 5-летней БСВ пациентов с локализованными формами СЮ составил 82,8%, у пациентов с высокой концентрацией TFPI-2 (до 0,15) – 100%.

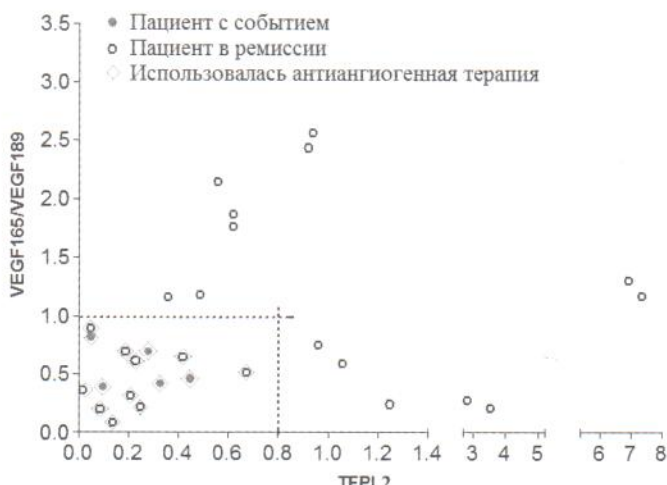


Рис. 1. Экспрессия мРНК гена TFPI-2 и соотношения изоформ VEGFA165/VEGFA189 у пациентов с локализованными формами СЮ в зависимости от клинического исхода заболевания

терапии. Отрицательные события и неблагоприятный исход заболевания (4 рецидива, 1 токсическая смерть) констатированы только у пациентов, локализованных в область МКНП. На момент анализа 1 пациент с рецидивом жив и находится во второй ремиссии.

Были оценены показатели БСВ, ОВ и КЧР у пациентов в зависимости от наличия МКНП.

Показатель 5-летней БСВ пациентов без наличия МКНП составил 100%. Показатель 5-летней БСВ пациентов с наличием МКНП был 66,7%. Пятилетняя БСВ пациентов объединенной когорты составила 82,8%.

Показатель 5-летней ОВ пациентов без наличия МКНП составил 100%. Показатель 5-летней ОВ пациентов с наличием МКНП был 70,0%. Показатель 5-летней ОВ пациентов объединенной когорты составил 84,4%.

Показатель КЧР за 5-летний период наблюдения пациентов без наличия МКНП составил 0%. Показатель КЧР пациентов с наличием МКНП был 26,7%. Показатель КЧР всех пациентов объединенной когорты составил 13,8%.

Далее мы сравнили показатели выживаемости – БСВ, ОВ и КЧР – у пациентов с локализованными формами опухолей семейства СЮ до (контрольная группа) и после (основная группа) использования стратегии VEGF-блокады в зависимости от уровня молекулярных маркеров ангиогенеза.

Показатели 5-летней БСВ пациентов основной и контрольной группы представлены на рис. 2.

Как представлено на рис. 2, показатель 5-летней БСВ основной группы составил 82,8%, у пациентов контрольной группы он был 60,1% ($p<0,05$).

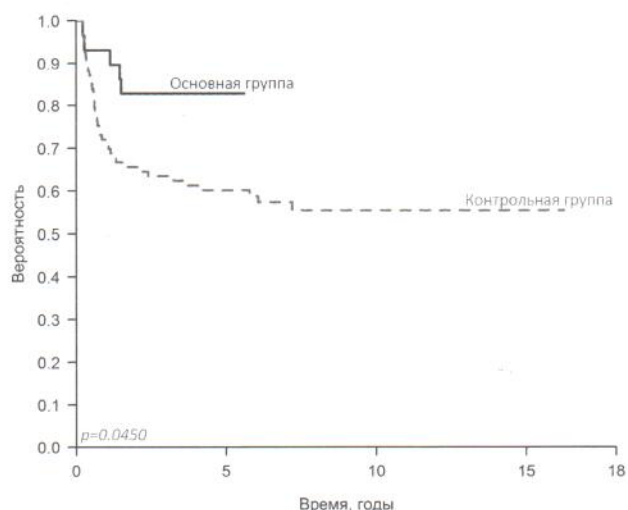


Рис. 2. БСВ пациентов основной и контрольной группы. Основная группа: n=29, 24 без события [82,8%±7,0%]; контрольная группа: n=94, 54 без события [55,5%±5,4%], на отсечке 5 лет [60,1%±5,1%]

Показатели 5-летней ОВ пациентов основной и контрольной групп представлены на рис. 3.

Как представлено на рис. 3, показатель 5-летней ОВ основной группы составил 84,4%, у пациентов контрольной группы он был 64,8% ($p<0,05$).

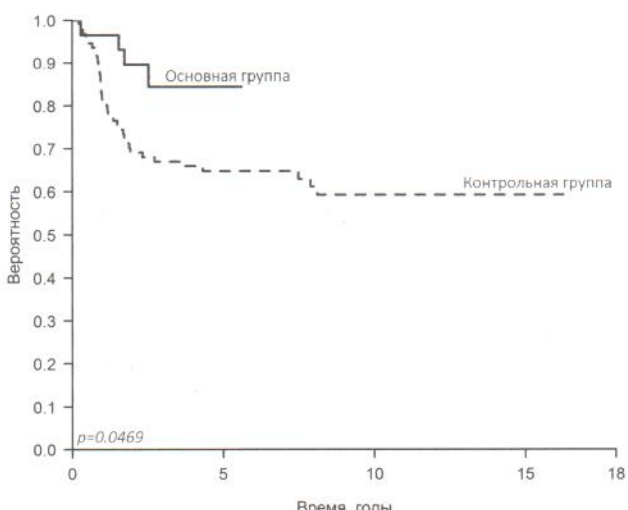


Рис. 3. ОВ пациентов основной и контрольной групп. Основная группа: n=29, 25 живы [84,4%±7,0%]; контрольная группа: n=94, 58 живы [59,3%±5,5%], на отсечке 5 лет [64,8%±4,9%]

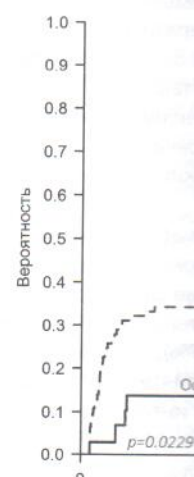


Рис. 4. КЧР пациентов основной и контрольной групп. Основная группа: n=29, 15 без рецидива [51,7%±6,5%]; контрольная группа: n=94, 35 без рецидива [37,7%±5,1%]

Показатели КЧР пациентов основной и контрольной групп за 5-летний период наблюдения предстали на рис. 4. Как представлено на рис. 4, показатель КЧР пациентов основной группы составил 51,7%, у пациентов контрольной группы он был 37,1% ($p<0,05$).

Таким образом, исследование оценивает эффективность новой интенсификации терапии пациентов с СЮ. На сегодняшний день около трети пациентов с СЮ имеют химиорезистентные рецидив заболевания. Ранее мы уже сообщали о том, что это позволяет на этапе инициации терапии пациентов с СЮ с неблагоприятным ответом на лечение. Для таких пациентов лечение было направлено на использование антиангиогенной терапии.

Современные таргетные препараты, направленные на опухолевые сосуды, вызывают интересный вариант усиления антинеопластической активности первого опыта для СЮ с помощью антиангиогенную терапию: винбластина [16, 18]. В настоящий момент в США и в Европе проводятся исследования блокады АГ при СЮ [17, 18]. Вместе с тем, исследователи предложили использовать антиангиогенное лечение в комбинации с стандартной терапией.

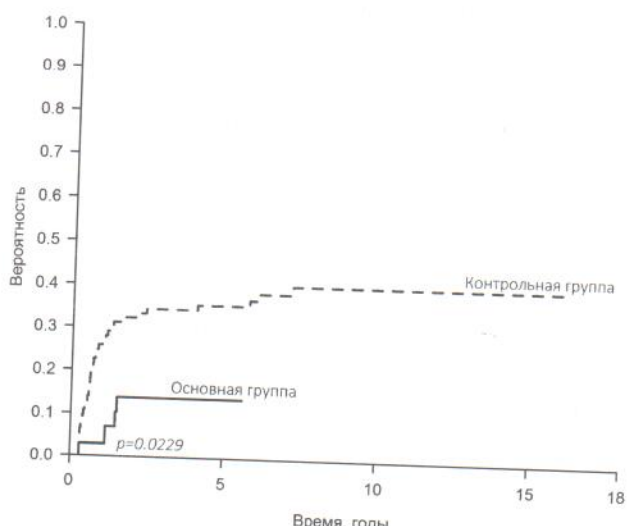


Рис. 4. КЧР пациентов основной и контрольной группы. Основная группа: $n=29$, 4 рецидива [13,8%]; контрольная группа: $n=94$, 38 рецидивов [42,4% \pm 5,4%], на отсечке 5 лет

Показатели КЧР пациентов основной и контрольной группы за 5-летний период наблюдения представлены на рис. 4.

Как представлено на рис. 4, показатель КЧР за 5-летний период наблюдения основной группы составил 13,8%, у пациентов контрольной группы он был 37,1% ($p<0,05$).

Таким образом, исследование сообщает о возможности персонализированной интенсификации терапии пациентам с локализованными формами СЮ. На сегодняшний день около трети пациентов с локализованными формами СЮ имеют химиорезистентность опухоли и развивают ранний рецидив заболевания. Ранее мы установили маркеры ангиогенеза, которые позволяют на этапе инициальной диагностики прогнозировать случаи с неблагоприятным ответом опухоли на системную терапию [11]. Для таких пациентов лечение было интенсифицировано посредством использования антиangiогенной терапии.

Современные таргетные препараты, направленные на подавление энзима опухолевых сосудов, вызывают несомненный интерес в качестве варианта усиления антинеопластического воздействия [14, 15]. В качестве первого опыта для СЮ североамериканские исследователи из Children's Oncology Group (COG) использовали метрономную антиangiогенную терапию: винblastин и целекоксигб совместно с базовой схемой [16, 18]. В настоящий момент в Европейском союзе и Соединенных Штатах Америки проводятся несколько исследований эффективности блокады АГ при СЮ [17, 18]. В одном из них с 2007 г. американские исследователи предложили использовать бевацизумаб в режиме randomизации вместе со стандартной химиотерапевтической схемой

для пациентов, рефрактерных к индукционной полихимиотерапии (№ протокола NCT00516295) [18]. Кооперативная мультицентровая штудия, в 2008 г. стартовавшая в странах Западной Европы (Франция, Нидерланды, Италия, Великобритания), также основной своей целью заявляет оценку эффективности применения ингибитора роста сосудов опухоли – бевацизумаба, но уже в первую линию лечения, для детей от 2 до 17 лет с первично-метастатическими формами СЮ (№ протокола NCT00643565) [18].

В нашем исследовании бевацизумаб дополнил стандартную цитостатическую терапию пациентам с локализованными формами СЮ, у которых был спрогнозирован высокий риск возврата заболевания на основании уровней маркеров ангиогенеза в опухолевой ткани перед началом лечения. Для пациентов (51,7%), которым в проспективном режиме был спрогнозирован неблагоприятный исход заболевания, стандартный терапевтический план был интенсифицирован посредством блокады ангиогенеза препаратом бевацизумаб. Пятилетняя БСВ для них составила 66,7%. БСВ пациентов (48,3%), у которых был спрогнозирован благоприятный исход, была 100%. Пятилетняя ОВ пациентов с прогнозируемым благоприятным исходом была 100%. Показатель 5-летней ОВ пациентов с неблагоприятным исходом, для которых была применена VEGF-блокада, составил 70,0%.

У всей когорты пациентов с локализованной СЮ, для которой осуществлялась антиангиогенная терапия, на основании уровня маркеров АГ констатированы лучшие показатели 5-летней БСВ (82,8% vs 60,1%, p<0,05), ОВ (84,4% vs 64,8%, p<0,05) и КЧР (13,8% vs 37,1%, p<0,05) по сравнению с пациентами, у которых данная технология не применялась.

Таким образом, продемонстрировано, что антиангиогенная терапия может быть эффективна при персональном назначении пациентам с прогнозируемым (на основании уровня маркеров АГ в ткани опухоли) неблагоприятном исходом заболевания.

■ ЗАКЛЮЧЕНИЕ

Применение антиангиогенной терапии персонально для случаев с прогнозируемой на основании молекулярных маркеров АГ химико-резистентностью новообразования позволяет улучшить показатели выживаемости для пациентов детского возраста с локализованными формами СЮ.

■ ЛИТЕРАТУРА

1. Aleinikova O., Potapnev M., Syckovich O., Petrovich S., Ismail-zade R., Strongin Y. (2000) Dostijenia detskoy onkologii i hematologii v respublike Belarus' [Achievements for Pediatric Oncology and Hematology in the Republic of Belarus]. *Aktualnye voprosy detskoy onkologii i hematologii: Materialy VIII mejdunarodnogo simpoziuma*. Minsk; pp. 3–8.
2. Sukonko O., Antonenкова Nat. (2011) Organizatsionno-metodicheskaya pomoshch' okazyvaemaya gosudarstvennym uchrezdeniem RNPC OMR im. N.N. Aleksandrova organizaciyam zdravooхранения

- Respublike Belarus' [Organizational achievements for pediatric oncology and hematology in the Republic of Belarus]. *Onkologicheskiy zhurnal*, vol. 20, pp. 1–10.
3. Demidchik Yu., Pisarenko A., Fridman I. (2011) Evidentnost' i effektivnost' bavacizumab v lechenii rrektal'nogo shhitovidnoj zhelezny: e'ffektivnost' i prediktory survivals. *Onkologicheskiy zhurnal*, vol. 20, pp. 1–10.
 4. Javid E., Antonenкова N., Prohorenko V. (2011) Bevacizumab in the treatment of rectal adenocarcinoma: efficacy and safety. *Zdravookhraneniye*, vol. 1, pp. 1–10.
 5. Granowetter L., Womer R., Devidas M., et al. (2007) Bevacizumab in combination with standard chemotherapy for children with metastatic Wilms tumor: a Children's Oncology Group study. *J Clin Oncol.*, vol. 27, pp. 1–10.
 6. Bhavna Padhye and Geoffrey McCollough (2011) Bevacizumab in the treatment of Ewing sarcoma in children and young adults. *Cancer Treatment Reviews*, vol. 37, pp. 1–10.
 7. Paulussen M., Craft A.W., Lewis I., et al. (2007) Results of two randomized trials of Ewing's sarcoma in standard-risk patients and assessment of prognostic factors. *J Clin Oncol.*, vol. 26, pp. 1–10.
 8. Scotlandi K., Remondini D., Castellino M., et al. (2007) Conventional drugs in Ewing sarcoma: results of a phase II study. *Cancer*, vol. 27, pp. 2209–2216.
 9. Ordonez J.L., Osuna D., Herrero D., et al. (2011) Ewing's sarcoma research: where are we now and what is next? *Cancer Treatment Reviews*, vol. 37, pp. 1–10.
 10. Kisialeu L., Aleinikova O. (2016) Lezhniki i opukholi v Republice Belarus: analiz klinicheskikh ishodov lecheniya Ewing's sarcoma v period 1998–2013 godov [Lymph nodes and tumors in the Republic of Belarus: analysis of clinical outcomes of Ewing's sarcoma treatment in the 15-year period of observation]. *Onkologicheskiy zhurnal*, vol. 21, pp. 1–10.
 11. Kisialeu L., Savitskaia T., Lipai N., et al. (2011) Prognostic factors of survival in patients with Ewing's sarcoma. *Onkologicheskiy zhurnal*, vol. 20, pp. 1–10.
 12. Petrovich S., Aleinikova O., Shumikov A. (2011) Epidemiology of cancer morbidity in the Republic of Belarus. *Onkologicheskiy zhurnal*, vol. 20, pp. 1–10.
 13. Juergens C., Weston C., Lewis I., et al. (2007) Phase I study of induction with vincristine, ifosfamide, carboplatin, and etoposide in the EURO-E.W.I.N.G. 99 clinical trial. *Cancer*, vol. 27, pp. 1–10.
 14. Gustafsson T., Amelin H., Fischer H., et al. (2007) Bevacizumab-related receptor expression in human tumors. *Cancer*, vol. 27, pp. 2137–2146.
 15. Schaefer K.L., Eisenacher M., Braun J., et al. (2007) The Ewing's sarcoma family of tumours reveals differential sensitivity to chemotherapy. *Eur J Cancer*, vol. 27, pp. 1–10.
 16. Glade Bender J.L., Adamson P.C., Reiter J., et al. (2007) Phase I study of bevacizumab in pediatric patients with solid tumors. *Journal of Clinical Oncology*, vol. 26, pp. 1–10.
 17. Subbiah V., Anderson P., Lazar A., et al. (2007) Bevacizumab: experimental treatment options. *Cancer*, vol. 27, pp. 1–10.
 18. DuBois S., Marina N., Glade-Bender J., et al. (2007) Phase I study of bevacizumab in patients with solid tumors. *Cancer*, vol. 27, pp. 749–757.

- Respublike Belarus' [Organizational and methodological assistance provided by a public institution RSPC named Centre of MPAs them. N.N. Alexandrova health organizations in the Republic of Belarus]. *Onkologicheskij zhurnal*, vol. 20, pp. 42–45.
11. Gernidchik Yu., Pisarenko A., Fridman M., Baragina Z., Man'kovskaya S., Papok V. (2008) Neoperiruemij rak smotovidnoj zhelezy: effektivnost' diagnostiki i vyzhivaemost' [Thyroid cancer: diagnostic perfomance and survival]. *Onkologicheskij zhurnal*, vol. 8, pp. 9–21.
 12. Javid E., Antonenkova N., Prohorova V., Lappo S. (2011) Rol molekuliarnych chasov v patogeneze i terapii zhiznachestvennykh novoobrazovaniy' [Role of molecular hours in pathogenesis and therapy of malignant tumors]. *Medicinskaya panorama*, vol. 7, pp. 19–23.
 13. Ganowetter L., Womer R., Devidas M., Kralo M., Wang C., Bernstein M. (2009) Dose-intensified compared with standard chemotherapy for nonmetastatic Ewing sarcoma family of tumours: a Children's Oncology Group study. *J Clin Oncol.*, vol. 27, pp. 2536–41.
 14. Bhavna Padhye and Geoffrey McCowage (2010) Chemotherapy regimens in newly diagnosed and recurrent ewing sarcoma in children and young adults. *Cancer Forum*, vol. 34, pp. 3.
 15. Paulussen M., Craft A.W., Lewis I., Hackshaw A., Douglas C., Dunst J. (2008) Results of the EICESS-92 Study: two randomized trials of Ewing's sarcoma treatment-- cyclophosphamide compared with ifosfamide in standard-risk patients and assessment of benefit of etoposide added to standard treatment in high-risk patients. *J Clin Oncol.*, vol. 26, pp. 4385–93.
 16. Scottiandri K., Remondini D., Castellani G., Manara M.C., Nardi F., Cantiani L. (2010) Overcoming resistance to conventional drugs in Ewing sarcoma and identification of molecular predictors of outcome. *J Clin Oncol.*, vol. 27, pp. 2209–2216.
 17. Ordonez J.L., Osuna D., Herrero D., De Alava E., Madoz-Gurpide J. (2009) Advances in Ewing's sarcoma research: where are we now and what lies ahead? *Cancer Research*, vol. 69/18, pp. 7140–7150.
 18. Kisaleu L., Aleinikova O. (2016) Lokalizovannyye formy opucholei semeistva sarkomy iuunga v respublike Belarus: analiz klinicheskikh ishodov u 115 pacientov za 15-ketni period nabliudenia [Localized forms family of tumors Ewing's sarcoma in the Republic of Belarus: analysis of clinical outcomes in 115 patients over a 15-year period of observation]. *Oncopediatria*, vol. 3 (3), pp. 182–187.
 19. Kisaleu L., Savitskaia T., Lipai N., Aleinikova O. (2016) TFP12, VEGFA165 i VEGFA189 kak nezavisimye faktory prognoza lokalizovannych form sarkomy iuunga [TFP12, VEGFA165 i VEGFA189 as independent factors of prognosis lokalizovany forms of Ewing's sarcoma]. *Onkologicheskij zhurnal*, vol. 10, pp. 93–100.
 20. Petrovich S., Aleinikova O., Shumikhina T. (2003) [Epidemiological aspects of childhood onco-hematological morbidity in the Republic of Belarus]. *Vopr Onkol.*, vol. 48 (3), pp. 301–305.
 21. Juergens C., Weston C., Lewis I., Whelan J., Paulussen M., Oberlin O. (2006) Safety assessment of intensive induction with vincristine, ifosfamide, doxorubicin and etoposide (VIDE) in the treatment of Ewing tumours in the EURO-E.W.I.N.G. 99 clinical trial. *Pediatr Blood Cancer*, vol. 47, pp. 22–29.
 22. Gustafsson T., Amelin H., Fischer H., Sundberg C.J., Timmons J.A., Jansson E. (2005) VEGF-A splice variants and related receptor expression in human skeletal muscle following submaximal exercise. *J Appl Physiol.*, vol. 98, pp. 2137–2146.
 23. Schaefer K.L., Eisenacher M., Braun Y., Brachwitz K., Wai D.H., Dirksen U. (2008) Microarray analysis of Ewing's sarcoma family of tumours reveals characteristic gene expression signatures associated with metastasis and resistance to chemotherapy. *Eur J Cancer*, vol. 44, pp. 699–709.
 24. Glade Bender J.L., Adamson P.C., Reid J.M., Xu L., Baruchel S., Shaked Y. (2008) Phase I trial and pharmacokinetic study of bevacizumab in pediatric patients with refractory solid tumors: a Children's Oncology Group study. *Journal of Clinical Oncology*, vol. 26 (3), pp. 399–405.
 25. Subbiah V., Anderson P., Lazar A., Burdett E., Raymond K., Ludwig J. (2010) Ewing's sarcoma: standard and experimental treatment options. *Current Treatment Options in Oncology*, vol. 10 (1–2), pp. 126–140.
 26. DuBois S., Marina N., Glade-Bender J. (2010) Angiogenesis and Vascular Targeting in Ewing Sarcoma. *Cancer*, vol. 1, pp. 749–757.

Получена: Received: 03.08.2017
 Контакты: Contacts: leonslight@mail.ru